



## شیمی کانی، جایگاه زمین ساختی و سنگ زایی توده‌ی گرانیتوئیدی بندهزارچاه (جنوب شرق شاهروド)

سید حسین حسینی<sup>۱\*</sup>، محمود صادقیان<sup>۱</sup>، جای مینگو<sup>۲</sup>، حبیب الله قاسمی<sup>۱</sup>

۱- دانشکده علوم زمین، دانشگاه شاهرود

۲- موسسه زمین شناسی و ژئوفیزیک آکادمی علوم چین و دانشگاه نورث‌وست (شمال غرب) چین

(دریافت مقاله: ۹۴/۶/۲۳، نسخه نهایی: ۹۴/۶/۲۴)

**چکیده:** توده‌ی گرانیتوئیدی بند هزارچاه بیشتر شامل گرانیت است و در سنگ‌های دگرگون نئوپروتروزئیک پسین نفوذ کرده است. کانی‌های اصلی تشکیل‌دهنده‌ی گرانیت‌ها شامل ارتوز، میکروکلین، پلازیوکلاز، کوارتز و گاهی بیوتیت هستند. پلازیوکلاز با  $\text{Ca} = 0_{10-24}$ ,  $\text{Si} = 2_{57-27}$  a.p.f.u.  $\text{An} = 0_{4-12}$  a.p.f.u. شامل آلبیت و الیگوکلاز است. بیوتیت با  $\text{Si} = 4_{5-53}$  a.p.f.u.  $\text{X}_{\text{Mg}} = 0_{0-25-0.188}$ ,  $\text{Si} = 4_{30-622}$  a.p.f.u. غنی از آهن بوده و از نوع سیدروفیلیت است. کلریت با  $\text{X}_{\text{Fe}} = 0_{84-91}$  بوده و از نوع دافیت و پسودوتورینجیت است. بر اساس شواهد صحرایی و ژئوشیمیایی این گرانیت‌ها از نوع S هستند و به نظر می‌رسد که از ذوب سنگ‌های دگرگون متاگری‌وکی-متاپلیتی در یک محیط زمین‌ساختی حاشیه‌ی فعال قاره‌ای ریشه گرفته‌اند. این سنگ‌ها احتمالاً در یک جایگاه قوس‌قاره‌ای و در نتیجه‌ی فروراش مورب لیتوسفر اقیانوسی پروتیس به زیر حاشیه‌ی شمالی ابرقاره‌ی گندوانا در ادیکاران-کامبرین زیرین تشکیل شده‌اند.

**واژه‌های کلیدی:** شیمی کانی؛ گرانیتوئید بند هزارچاه؛ جایگاه زمین ساختی؛ سنگ زایی؛ شاهرود.

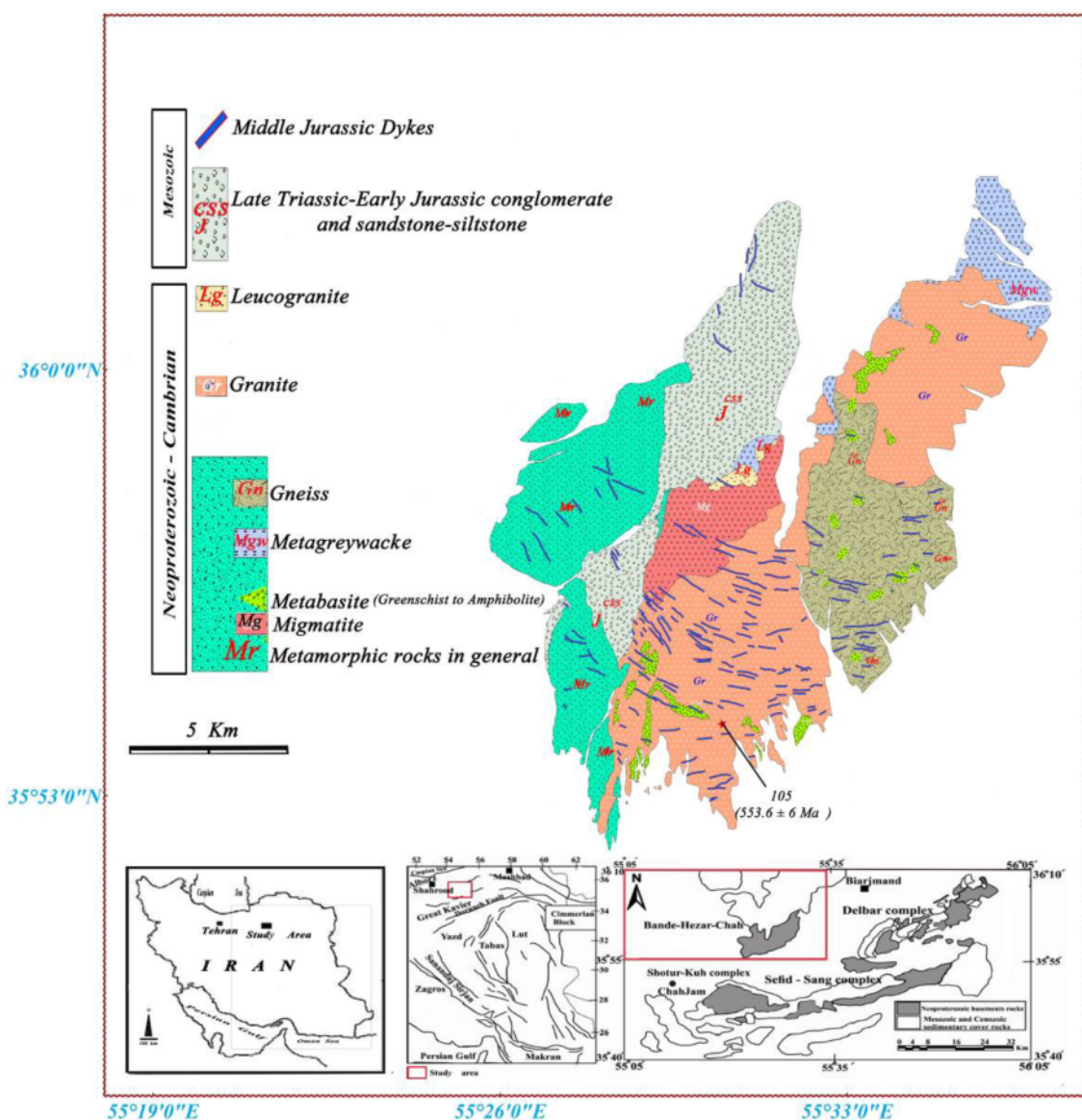
است. حسن زاده [۱۰] دو نمونه از سنگ‌های توده گرانیتوئیدی بندهزارچاه را سال‌سنجی کرده است. کاظمی [۱۱] و ابتهاج [۱۲] نیز در قالب پایان‌نامه‌ی کارشناسی ارشد به بررسی ویژگی‌های سنگ نگاشته‌ها و ژئوشیمیایی این توده پرداخته‌اند، ولی از آنجا که تاکنون هیچ گونه بررسی شیمی کانی و سنگ‌زایی روی توده‌ی گرانیتوئیدی بندهزارچاه صورت نپذیرفته بود، این مقاله با هدف ارائه‌ی یک تصویر شفاف از شیمی کانی و سنگ‌زایی توده‌ی گرانیتوئیدی بندهزارچاه ارائه شده‌است. مادره‌های جدید صحرایی، زمین‌شیمی عناصر خاکی نادر، کمیاب و اصلی سنگ کل را برای شناخت و آگاهی بهتر از چگونگی تشکیل توده‌ی گرانیتوئیدی بندهزارچاه ارائه می‌دهیم.

**مقدمه**  
در شرق و جنوب‌شرق شاهرود و به عبارت دقیق‌تر در فاصله‌ی حدود ۳۰ کیلومتری جنوب‌غربی بیارجمند، توده‌ی گرانیتوئیدی بندهزارچاه رخنمون‌دارد (شکل ۱). این توده‌ی گرانیتوئیدی در حدفاصل نقشه‌های زمین‌شناسی ۱: ۲۵۰۰۰ طرود [۱]، خارتوران [۲]، گرگان [۳] و جاجرم [۴] و نقشه‌های زمین‌شناسی ۱: ۱۰۰۰۰۰ [۵]، دره دایی [۶]، بسطام [۷] و رزو [۸] واقع شده است. حسینی [۹] در قالب پایان‌نامه‌ی کارشناسی ارشد با عنوان سنگ‌شناسی و ژئوشیمی توده‌ی گرانیتوئیدی بندهزارچاه به بررسی ویژگی‌های سنگ‌نگاری و ژئوشیمیایی توده‌ی گرانیتوئیدی بندهزارچاه پرداخته

توده‌ی فوق به پرکامبرین نسبت داده نشد بلکه یک بازه سنی، از قبل از تریاس تا بعد از ژوراسیک، برای آن پیشنهاد شده است. توده گرانیتوئیدی بندهزارچاه در حاشیه‌ی شمالی منطقه‌ی ساختاری ایران مرکزی قرار گرفته است. نتایج تعیین سن به روش U-Pb روی زیرکن‌های موجود در این گرانیتها، سن ۵۵۳.۶ میلیون سال را نشان داده است [۱۳]. توده‌ی گرانیتوئیدی بندهزارچاه، با روند شمال‌شرقی-جنوب‌غربی و با طول حدود ۲۰ کیلومتر و عرض حدود ۶ کیلومتر در میان سنگ‌های دگرگون نئوپروتروزئیک پسین نفوذ کرده و با

### زمین‌شناسی

ایران مرکزی سرزمینی مرکب از کمریندهای چین‌خورد و گسلیده، همراه با پیسنگی پوشیده بادنباله‌های ضخیم رسوبی است که اولين بار در نقشه‌ی زمین‌شناسی ایران (تهیه شده در سال ۱۹۵۹ ازسوی شرکت ملی نفت ایران) به تکه‌هایی از پیسنگ گرانیتی و ارتوگنیسی در بسیاری از نقاط شمالی (از جمله منطقه‌ی مورد بررسی)، مرکزی و شرق ایران مرکزی اشاره شد و سن آن‌ها به‌طور کلی به پرکامبرین نسبت داده شده است. با این حال در هیچ یک از نقشه‌های زمین‌شناسی ۲۵۰۰۰۰ : ۱ و ۱۰۰۰۰۰ : ۱ که بعداً تهیه شدند، سن این



شکل ۱ نقشه‌ی زمین‌شناسی توده‌ی گرانیتوئیدی بندهزارچاه.

ریزپردازنده‌ی از نوع ابرکاونده‌ی ساخته شده‌ی شرکت GEOL<sup>۸</sup> و شرایط آزمایش شامل ولتاژ ۱۵KV، جریان ریزکلو (A)  $1 \times 10^{-4}$ ، دمای  $25^{\circ}\text{C}$  و رطوبت ۳۰٪ بوده و از نمونه‌ی استاندارد ۱۵۶۱-۲۰۰۲ GB/T ساخت چین استفاده شد. قطع نقاط بررسی شده ۱ تا ۵ میکرون بوده است.

از بین نمونه‌های کمتر دگرسان شده و سالم، تعداد ۱۴ نمونه سنگی انتخاب گردید و جهت تعیین میزان عناصر اصلی، کمیاب و کمیاب خاکی، در آزمایشگاه ژئوشیمی ACME کانادا به روش ICP بسته ترکیبی ۴A4B تجزیه شد. فراوانی عناصر اصلی سنگ با روش طیفسنجی گسیل پلاسمای جفتیده (ICP-AES) با دقت  $0.01$  درصد تعیین شده و فراوانی عناصر کمیاب و خاکی نادر با روش طیفسنجی جرمی پلاسمای - جفتیده القابی (ICP-MS) با دقت  $0.01$  ppm تا  $0.01$  ppm تعیین شده است. برای اطلاعات بیشتر می‌توان به سایت WWW.ACTELABS مراجعه نمود. نتایج حاصل از تجزیه-شیمیایی نمونه‌ها با هدف بررسی ویژگی‌های ژئوشیمیایی با نرم‌افزارهای سنگ‌شناسی مختلف مورد پردازش قرار گرفتند. برای بررسی‌های سال‌سنگی با روش پرتوسنجی، مراحل جدايش کانی زیرکن با استفاده از روش‌های آبشویی، جدايش دستی در زیر میکروسکوپ دوچشمی و نصب زیرکن‌های جدا شده بر روی لام و رزین (Mounting) در موسسه‌ی آکادمی علوم چین در پکن انجام شد و در ادامه به منظور شناسایی ساختار داخلی زیرکن‌ها و انتخاب نقاط مناسب برای تعیین سن U-Pb، از تصاویر کاتدلومنینسانس (CL) استفاده شد. برای تهیه تصاویر CL، از یک میکروسکوپ الکترونی پوینده از نوع MonoCL، ساخته شده توسط شرکت لئو آلمانی، در دانشگاه شیان استفاده شد (شکل ۲- ب). سال سنجی به روش laser ablation inductively coupled plasma (ICPMS) نیز در دانشگاه شیان کشور چین انجام گرفت.

### سنگ نگاری

توده‌ی گرانیت‌وئیدی بند هزارچاه به صورت یک توده‌ی اصلی بزرگ در بخش میانی گستره‌ی مورد بررسی (شکل ۲- الف)، یک توده‌ی کوچکتر در بخش شمال‌شرقی و نیز به شکل رگه‌های آپلیتی- پگماتیتی رخنمون دارد. با توجه به بررسی‌های

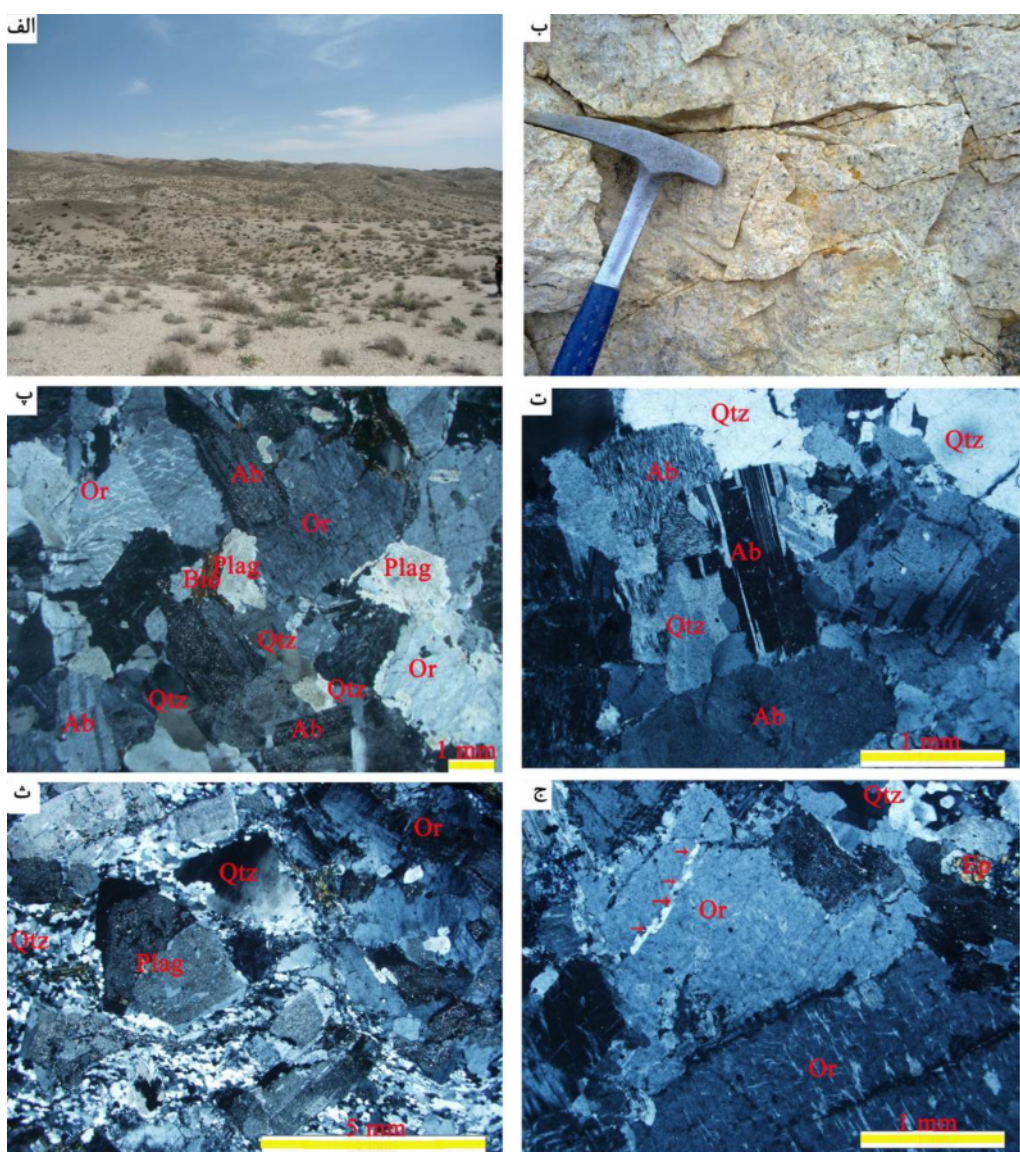
دنباله‌ی رسویی ژوراسیک زیرین- تریاس بالای پوشیده شده است (شکل ۱). این دنباله‌ی رسویی بیشتر شامل کنگلومرا، ماسه‌سنگ، آهک و شیل است. توده‌ی گرانیت‌وئیدی بند هزارچاه شامل گرانیت و لوکوگرانیت است. سنگ‌های دگرگون نئوپروتروزوئیک میزبان، عبارتند از: اسلیت، فیلیت، شبه‌گریوک، متاچرت، شبه‌بازی، میکاشیست، مرمر، گنیس و گارتنت‌گنیس. دنباله‌ی رسویی پوشانده بیشتر شامل کنگلومرا، ماسه‌سنگ، سیلتستون، آهک و شیل. کنگلومرا قاعده‌ای این دنباله عبارتند از تخته سنگ‌ها، قله‌سنگ‌ها و ریگ‌هایی از میگماتیت، گرانیت، لوکوگرانیت، گنیس، میکاشیست و شبه‌بازی بوده و هر چقدر از قاعده‌ی کنگلومرا دورتر می‌شویم اندازه‌ی این قطعات کوچکتر می‌شود. سنگ‌های دگرگون میزبان، توده‌ی گرانیت‌وئیدی و دنباله‌ی رسویی پوشانده به وسیله دسته‌های دایک بازیک قطع می‌شوند. دسته‌های دایک بازی با چندصد متر طول و عرض بین چند سانتی‌متر تا چند ده متر، روندی شرقی- غربی دارند. این دایک‌ها، سنگ‌های جوان‌تر از قبیل آهک‌های کرتاسه زیرین (نئوکومین) جوانتر را قطع نمی‌کنند. نتایج سال‌سنگی به روش U-Pb روی آپاتیت در این دایک‌ها، سن ۱۵۲ میلیون سال را نشان‌داده‌اند [۱۴]. دایک‌های بازی و دیگر سنگ‌های قدیمتر نیز به وسیله‌ی سنگ‌های رسویی- آتش‌شکانی اثوسن، کنگلومرا و ماسه‌سنگ- های نئوژن و رسویهای آبرفتی کواترنری پوشانده می‌شوند.

### روش بررسی

برای دستیابی به هدف‌های مورد بررسی، پس از بازدید از منطقه و بررسی شواهد صحرایی، از رخنمون‌های سنگی نمونه- برداری شد و تعداد ۴۵۰ مقطع نازک تهیه شدند. پس از بررسی‌های سنگ‌نگاری و بر اساس تنوع کانی‌شناسی و سنگ- شناسی، تعداد ۱۸ مقطع نازک صیقلی برای بررسی نقطه‌ای (Riley پردازش الکترونی) انتخاب شدند و پس از آنکه سطح آن‌ها با لایه‌ای از کربن پوشیده شد، مورد تجزیه‌ی شیمیایی قرار گرفتند. تجزیه شیمیایی نمونه‌ها برای تعیین میزان عناصر Electron probe micro- (EPMA) یا به اختصار State Key Laboratory of Continental Dynamics، Northwest University (Xian

بریده و خاموشی موحی بوده و در بخش‌های میلیونیتی شده، تقریباً سبز و گاهی به صورت مجموعه‌های چندبلوری و نوارهای کشیده دیده می‌شود (شکل ۲-ث). مجموعه‌های چندبلوری کوارتز، بلورهای فلدسپار قلیایی گاهی با اندازه‌ای تا سه سانتی‌متر دیده می‌شوند که پلاژیوکلازها را احاطه کرده و در بعضی موارد رگه‌های کوارتز، فلدسپارها را نیز قطع کرده‌اند (شکل ۲-ج).

صحرایی و سنگنگاری صورت گرفته، این سنگ‌ها طیف ترکیبی از فلدسپار قلیایی گرانیت و گرانیت را در بر می‌گیرند. این سنگ‌ها به رنگ روشن تا صورتی و درشت دانه (شکل ۲-ب) بوده و دارای بافت نیمه شکلدار دانه‌دار موزائیکی و ریزدانه‌ای هستند (شکل ۲-پ تا ج). فلدسپار قلیایی گرانیت‌ها لوکوکراتیک بوده و بیشتر لوکوگرانیت‌ها را تشکیل می‌دهند. کانی‌های اصلی تشکیل‌دهنده‌ی این سنگ‌ها عبارتند از فلدسپار قلیایی، پلاژیوکلاز، کوارتز و گاهی بیوتیت. کوارتز دارای حاشیه‌ای، پلاژیوکلاز، کوارتز و گاهی بیوتیت.



شکل ۲- الف- یک چشم انداز کلی از توده‌ی گرانیتوئیدی بند هزار چاه همراه با دسته‌های دایک دیابازی قطع کننده‌ی آن. ب- نمای نزدیکی از گرانیت بندهزارچاه. پ و ت- تصاویر میکروسکوپی مقاطع نازک به ترتیب از گرانیت‌ها و فلدسپار قلیایی گرانیت‌ها در نور قطبیده متقطع. ث- تصویر میکروسکوپی از گرانیت میلیونیتی شده. ج- تصویر میکروسکوپی از قطع شدگی بلور ارتوز به وسیله‌ی رگه کوارتز در گرانیت در نور قطبیده متقطع.

$\text{Si} = 5,32-5,39$ ,  $\text{Al} = 4,05-4,12$ ,  $\text{Na} = 0,02-0,05$  a.p.f.u و  $\text{K} = 1,17-1,35$  دارای  $\text{Zr}$  نیز از کانی‌های فرعی تشکیل‌دهنده‌ی گرانیت‌ها بوده و از این برای تعیین سن از روش LA-ICPMS (inductively coupled plasma mass spectrometry) استفاده شد (شکل ۴-ث).

### زمین‌شیمی

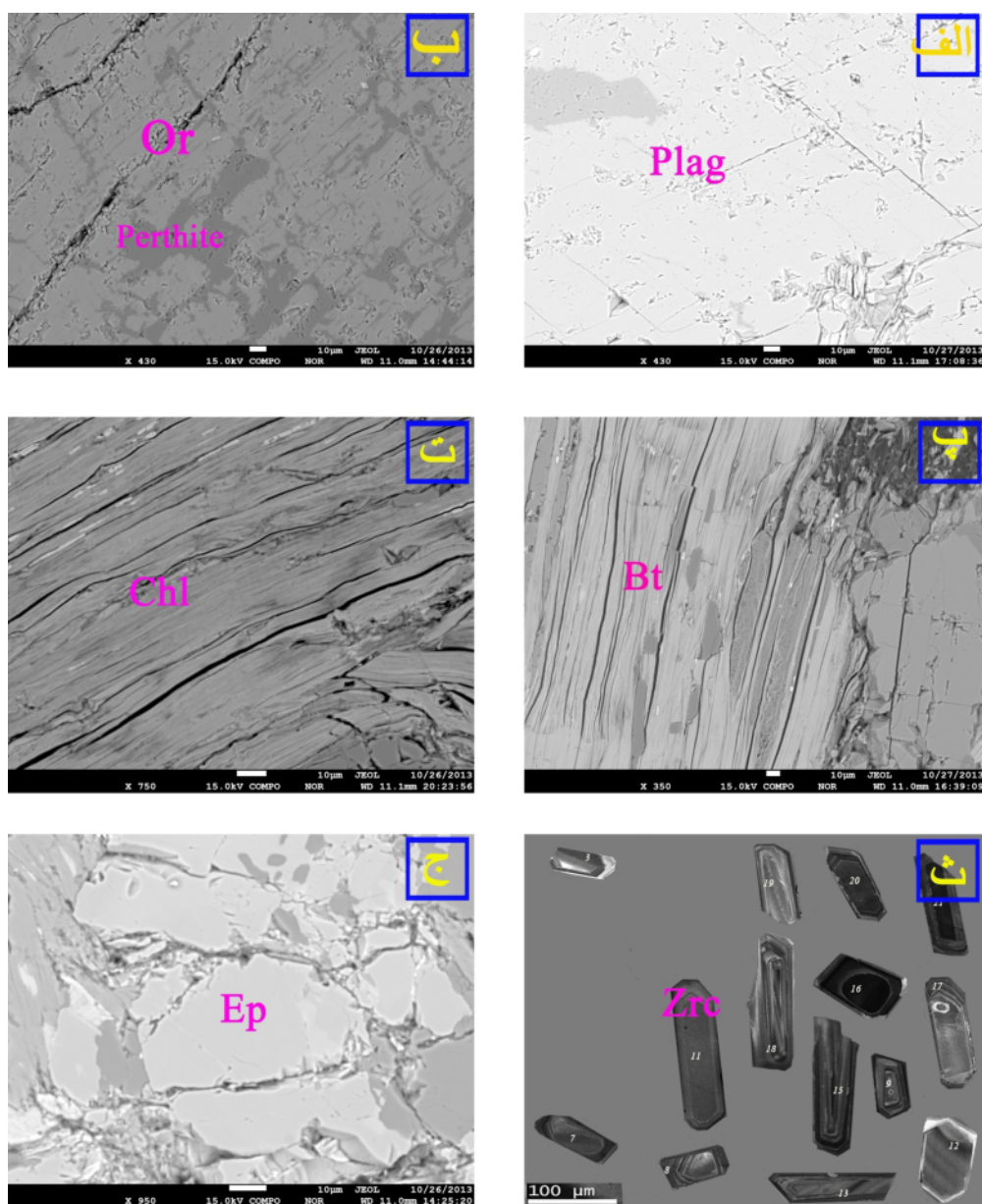
برای تعیین ویژگی‌های ژئوشیمیایی توده‌ی گرانیت‌وئیدی بندهزارچاه، ۱۴ نمونه برای بررسی سنگ کل انتخاب شدند (جدول ۲). این سنگ‌ها به طور کلی دارای مقادیر بالای  $\text{SiO}_2$  (۷۲۸-۳۵۴٪)،  $\text{Na}_2\text{O}$  (۰,۷۲۹-۰,۷۴٪)،  $\text{FeO}_{\text{total}}$  (۰,۰۹-۰,۱٪)،  $\text{CaO}$  (۰,۵۲۹٪)،  $\text{MgO}$  (۰,۲۴۶-۰,۳۶٪) و مقادیر بسیار کم  $\text{MnO}$ ،  $\text{MnO}$ ،  $\text{MgO}$ ،  $\text{CaO}$ ،  $\text{Na}_2\text{O}$ ،  $\text{K}_2\text{O}$ ،  $\text{P}_2\text{O}_5$  هستند. این سنگ‌ها روی نمودارهای مجموع قلیایی‌ها (در برابر  $\text{SiO}_2$ ) در  $(\text{Na}_2\text{O} + \text{K}_2\text{O})$  در گستره‌های ۱۷,۱۶] در گستره‌های ۰,۰۱-۰,۰۲٪ گرانیتی با ماهیت نیمه قلیایی قرار می‌گیرند (شکل ۵ الف و ب).

### شیمی کانی

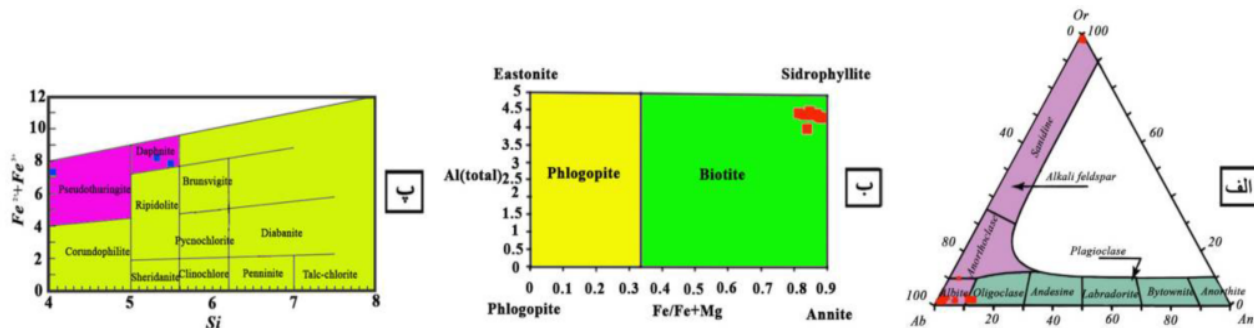
فلدسبار پتاسیم با  $\text{K} = 2,6-2,8$  a.p.f.u و  $\text{Si} = 2,56-2,73$  a.p.f.u شامل ارتوز و میکروکلین است (جدول ۱) (شکل ۳-ب). ارتوز حاوی پرتیت بوده و در بعضی موارد به میکروکلین تبدیل شده است. پلازیوکلاز با  $\text{Si} = 2,57-2,7$  a.p.f.u.  $\text{Ca} = 0,10-0,24$  a.p.f.u.  $\text{An} = 0,4-0,6$  a.p.f.u از نوع آلبیت و الیگوکلاز است. در فلدسبار قلیایی گرانیت‌ها، پلازیوکلاز از نوع آلبیت و در گرانیت‌ها از نوع آلبیت - الیگوکلاز است (شکل ۳-الف و ۴-الف) [۱۵]. ارتوز و میکروکلین در برخی موارد به سرسیت و کانی‌های رسی رسیده‌اند. بیوتیت‌ها با  $\text{X}_{\text{Mg}} = 0,25-0,188$  a.p.f.u و  $\text{Fe}^{+3} = 4,30$  a.p.f.u غنی از آهن‌اند و نزدیک به سیدروفیلیت هستند (شکل ۳-پ و ۴-ب) [۱۵]. بیوتیت‌ها بیشتر به کلریت، اسفن و کانی‌های کدر و در مواردی نیز به مسکویت تبدیل شده‌اند. کلریت با  $\text{Si} = 4-5,53$  a.p.f.u  $\text{Fe}^{+3} = 0,84-0,91$  دارای  $\text{Ca} = 3,85-4,24$  a.p.f.u و از نوع دافنیت و پسودوتورینجیت است (شکل ۳-ت و ۴-پ) [۱۵]. اپیدوت با  $\text{Si} = 6,28-6,46$  a.p.f.u و  $\text{Fe}^{+3} = 0,48-0,68$  a.p.f.u دارای  $\text{Al} = 4,82-5,18$  a.p.f.u است.

جدول ۱ نتایج بررسی نقطه‌ای برخی از کانی‌های توده گرانیت‌وئیدی بندهزارچاه

| Mineral Sample Number   | Plagioclase | Orthoclase | Plagioclase | Biotite  | Chlorite | Muscovite | Epidote |
|-------------------------|-------------|------------|-------------|----------|----------|-----------|---------|
|                         | ۱۰-۵-۱-۲    | ۱۰-۵-۱-۳   | ۱۰-۵-۱-۴    | ۱۰-۵-۱-b | ۷۶-۵-۳   | ۷۰-۱-۲    | ۷۹-۱-۳  |
| $\text{SiO}_2$          | ۶۹,۱۵۵      | ۶۵,۰۲۴     | ۲۹,۵۶۶      | ۴۳,۶۱۵   | ۲۳,۹۶۲   | ۴۷,۷۸۵    | ۳۸,۴۵۵  |
| $\text{TiO}_2$          | ۰,۰۲۴       | ۰,۰۲۶      | ۰,۰۴۵       | ۰,۳۶۳    | ۰,۲۱۳    | ۰,۰۶۹     | ۰,۰۲۴   |
| $\text{Al}_2\text{O}_3$ | ۲۰,۱۴۵      | ۱۸,۴۰۱     | ۲۲,۰۴۶      | ۲۶,۴۴    | ۱۷,۸۹۸   | ۳۰,۷۸۷    | ۲۶,۸۷۷  |
| $\text{FeO}$            | ۰,۰۳۴       | -          | ۰,۰۵۳       | ۱۰,۵۱۲   | ۴۰,۱۰۵   | ۰,۷۰۶     | ۷,۷۵۷   |
| $\text{MnO}$            | -           | ۰,۰۳۱      | ۰,۰۴۱       | ۰,۰۶     | ۰,۶۳۲    | -         | ۰,۳۳۴   |
| $\text{MgO}$            | -           | -          | -           | ۱,۳۶۱    | ۴,۲۳۲    | ۲,۶۴۴     | -       |
| $\text{CaO}$            | ۰,۳۴۲       | ۰,۰۲۴      | ۲,۴۶۳       | ۰,۰۴۷    | ۰,۰۴۵    | ۰,۲۱۴     | ۲۳,۴۶   |
| $\text{Na}_2\text{O}$   | ۱۱,۸۷۷      | ۰,۳۶۳      | ۱۰,۱۵۷      | ۰,۰۷     | ۰,۰۲۴    | ۰,۱۵۸     | -       |
| $\text{K}_2\text{O}$    | ۰,۱۲۸       | ۱۷,۲۴۵     | ۰,۰۶۶       | ۹,۰۲۶    | ۰,۰۳۵    | ۹,۴۸۳     | ۰,۰۵۱   |
| $\text{P}_2\text{O}_5$  | -           | -          | ۰,۰۱۱       | ۰,۰۰۴    | ۰,۰۰۹    | ۰,۰۰۵     | ۰,۰۰۲   |
| total                   | ۱۰۱,۷۰۵     | ۱۰۱,۱۴۴    | ۱۰۱,۱۸      | ۹۱,۵     | ۸۷,۱۵۵   | ۹۹,۸۵۱    | ۹۶,۹۶   |
| Si                      | ۲,۷۱۹       | ۲,۵۷۲      | ۲,۶۲۱       | ۶,۱۰۳    | ۳,۴۰۲    | ۵,۳۳۵     | ۶,۲۹    |
| Al                      | ۱,۰۵۶       | ۰,۹۷۱      | ۱,۱۶۲       | ۴,۳۶۱    | ۴,۲۲۰    | ۴,۰۵۱     | ۵,۱۸    |
| Ti                      | ۰,۰۰۱       | ۰,۰۰۱      | ۰,۰۰۲       | ۰,۰۳۸    | ۰,۰۰۵    | ۰,۰۰۶     | -       |
| $\text{Fe}^{+3}$        | -           | -          | -           | -        | -        | -         | ۰,۴۸    |
| $\text{Fe}^{+2}$        | -           | -          | -           | ۱,۲۳۰    | ۵,۰۴۲    | ۰,۰۶۶     | -       |
| Mn                      | -           | ۰,۰۰۲      | ۰,۰۰۳       | ۰,۰۰۷    | ۰,۰۰۹    | -         | ۰,۰۵    |
| Mg                      | -           | -          | -           | ۰,۲۸۴    | ۴,۷۱۲    | ۰,۴۴۰     | -       |
| Ca                      | ۰,۰۲۷       | ۰,۰۰۲      | ۰,۱۹۵       | ۰,۰۰۷    | ۰,۰۰۳    | ۰,۰۲۶     | ۴,۱۱    |
| Na                      | ۱,۸۶۸       | ۰,۰۵۷      | ۱,۶۰۶       | ۰,۰۱۹    | -        | ۰,۰۳۴     | ۰,۰۲    |
| K                       | ۰,۰۲        | ۲,۷۲۹      | ۰,۰۱        | ۱,۶۱۱    | -        | ۱,۳۵۰     | -       |
| Or                      | ۱,۰۵۱       | ۹۷,۸۷۲     | ۰,۵۷۶       | -        | -        | -         | -       |
| Ab                      | ۹۷,۵۴۴      | ۲,۰۶       | ۸۸,۶۷۳      | -        | -        | -         | -       |
| An                      | ۱,۴۰۴       | ۰,۰۶۸      | ۱۰,۷۵۱      | -        | -        | -         | -       |



شکل ۳ الف تا ج - تصاویر میکروسکوپ الکترونی (BSE) (Back-Scattered Electrons) تهیه شده به ترتیب از کانی های ارتوز، پلاژیوکلаз، کلریت، بیوتیت و اپیدوت در گرانیت ها. ث- تصاویر رخانی کاتدی از دانه های زیرکن جدا شده از گرانیت ها.



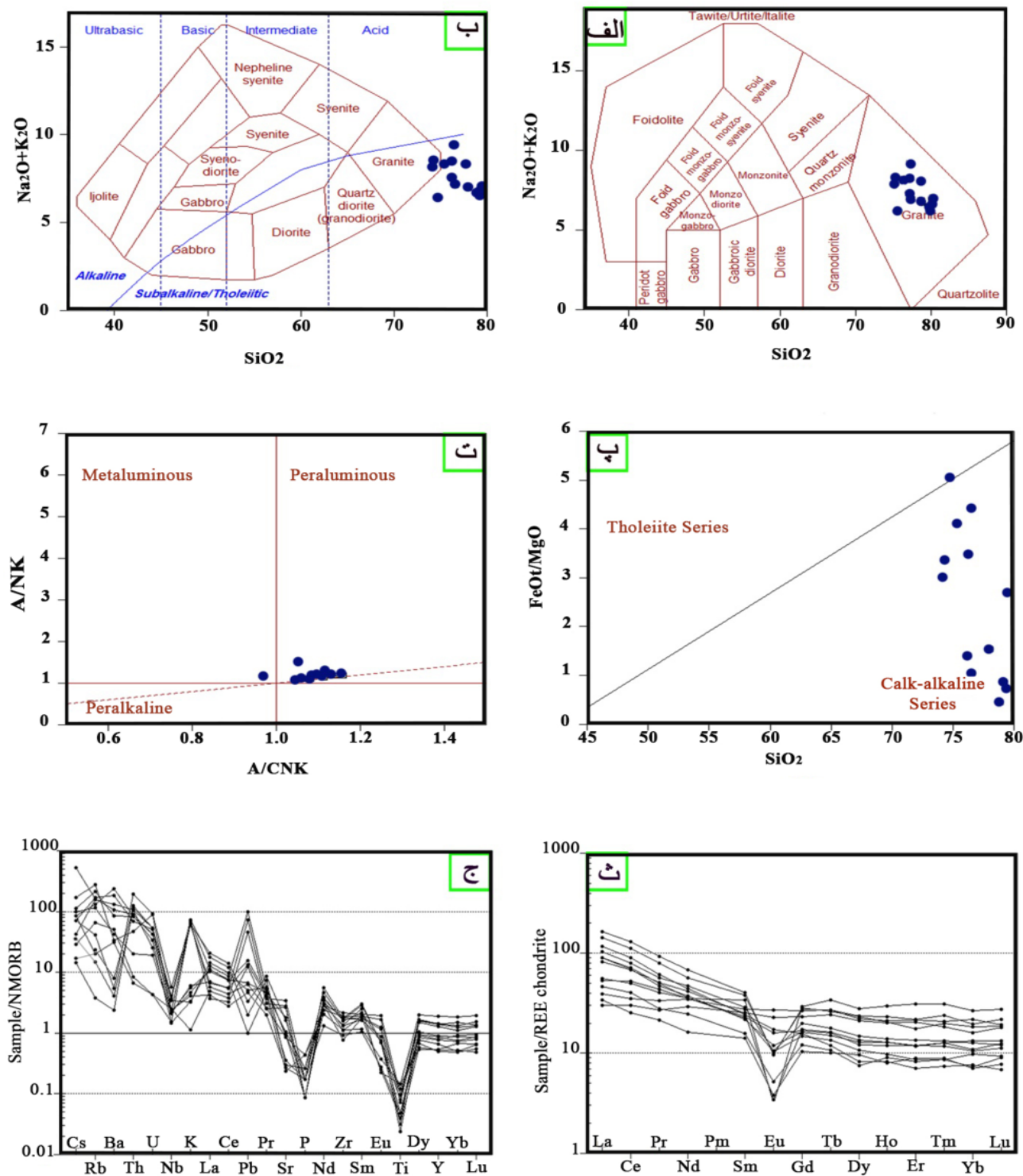
شکل ۴ الف، ب و ج - به ترتیب ترکیب شیمیایی فلدسپارها، بیوتیت ها و کلریت های توده گرانیتی و بند هزار چاه بر اساس رد مبنی دی ار و همکاران [۱۵]

جدول ۲ نتایج آنالیز عناصر اصلی و کمیاب در گرانیت‌ها  
گرانیت‌ها

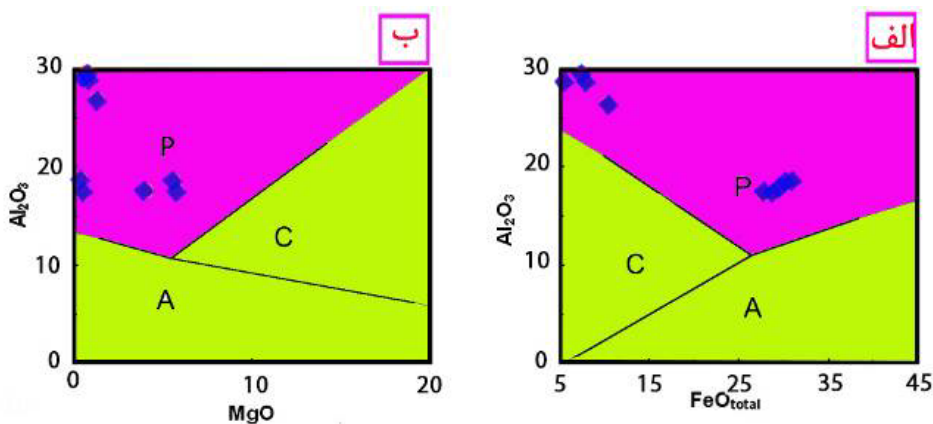
| شماره                          | ۲۵-۱   | ۲-۳   | ۳-۱   | ۱۰۵    | ۷۷-۲  | ۸۰-۱   | ۷۹-۱  | ۱۰۳    | ۷۶-۵   | ۷۰-۱   | ۳۹-۴   | ۳۲-۱  | ۸۸-۸   | ۸۸-۷   |
|--------------------------------|--------|-------|-------|--------|-------|--------|-------|--------|--------|--------|--------|-------|--------|--------|
| SiO <sub>2</sub>               | ۷۴,۱۸  | ۷۴,۳  | ۷۴,۷۲ | ۷۵,۳۳  | ۷۶,۲۵ | ۷۶,۵۰  | ۷۷,۸  | ۷۷,۹۸  | ۷۸,۸۵  | ۷۹,۴۹  | ۷۶,۵۲  | ۷۶,۲  | ۷۹,۳۱  | ۷۹,۱۸  |
| Al <sub>2</sub> O <sub>3</sub> | ۱۳,۸۱  | ۱۳,۲۵ | ۱۳,۶  | ۱۲,۶۵  | ۱۳,۱۵ | ۱۳,۲۲  | ۱۲,۶۴ | ۱۳,۱۴  | ۱۲,۷۹  | ۱۲,۶۸  | ۱۳,۹۲  | ۱۲,۸۲ | ۱۲,۳۰  | ۱۲,۳۳  |
| FeO                            | ۰,۹۹   | ۰,۸۸  | ۱,۱۱  | ۰,۶۶   | ۰,۵۳  | ۰,۲۹   | ۰,۳۵  | ۰,۴۳   | ۰,۲۱   | ۰,۱۶   | ۰,۳۹   | ۰,۶۳  | ۰,۲۷   | ۰,۳۹   |
| Fe <sub>2</sub> O <sub>3</sub> | ۱,۲۱   | ۱,۰۸  | ۱,۳۵  | ۰,۸۱   | ۰,۶۴  | ۰,۳۵   | ۰,۴۳  | ۰,۵۲   | ۰,۲۶   | ۰,۲۰   | ۰,۴۸   | ۰,۷۷  | ۰,۳۳   | ۰,۴۸   |
| MgO                            | ۰,۶۶   | ۰,۵۳  | ۰,۴۳  | ۰,۳۲   | ۰,۳۰  | ۰,۱۳   | ۰,۰۴  | ۰,۵۶   | ۰,۹۴   | ۰,۱۲   | ۰,۷۵   | ۰,۸۹  | ۰,۷۴   | ۰,۹۲   |
| CaO                            | ۰,۸۱   | ۱,۱۶  | ۲,۰۹  | ۰,۸۰   | ۰,۵۹  | ۰,۱۰   | ۰,۴۲  | ۰,۳۳   | ۰,۱۸   | ۰,۲۱   | ۰,۶۶   | ۰,۱۰  | ۰,۱۰   | ۰,۱۱   |
| Na <sub>2</sub> O              | ۳,۶۰   | ۴,۲۰  | ۳,۸۹  | ۳,۷۹   | ۳,۵۴  | ۴,۰۷   | ۳,۴۳  | ۶,۵۷   | ۶,۴۲   | ۶,۸۴   | ۶,۷۸   | ۷,۲۸  | ۶,۷۴   | ۶,۰۶   |
| K <sub>2</sub> O               | ۴,۵۰   | ۴,۳۱  | ۲,۵۱  | ۴,۵۴   | ۴,۸۸  | ۵,۲۹   | ۴,۸۵  | ۰,۴۰   | ۰,۲۹   | ۰,۲۴   | ۰,۳۳   | ۰,۲۳  | ۰,۰۸   | ۰,۴۳   |
| TiO <sub>2</sub>               | ۰,۱۸   | ۰,۱۸  | ۰,۱۹  | ۰,۱۰   | ۰,۰۹  | ۰,۰۴   | ۰,۰۳  | ۰,۰۵   | ۰,۰۶   | ۰,۰۴   | ۰,۱۵   | ۰,۰۶  | ۰,۱۲   | ۰,۱۲   |
| P <sub>2</sub> O <sub>5</sub>  | ۰,۰۵   | ۰,۰۵  | ۰,۰۵  | ۰,۰۲   | ۰,۰۱  | ۰,۰۳   | ۰,۰۱  | ۰,۰۲   | ۰,۰۲   | ۰,۰۲   | ۰,۰۳   | ۰,۰۱  | ۰,۰۱   | ۰,۰۲   |
| MnO                            | ۰,۰۳   | ۰,۰۴  | ۰,۰۴  | ۰,۰۲   | ۰,۰۲  | ۰,۰۱   | ۰,۰۱  | ۰,۰۱   | ۰,۰۱   | ۰,۰۱   | ۰,۰۱   | ۰,۰۱  | ۰,۰۱   | ۰,۰۱   |
| Cr <sub>2</sub> O <sub>3</sub> | ۰      | ۰     | ۰     | ۰      | ۰     | ۰      | ۰     | ۰      | ۰      | ۰      | ۰      | ۰     | ۰      | ۰      |
| Sum                            | ۱۰۰,۰۱ | ۹۹,۹۶ | ۱۰۰   | ۱۰۰,۰۴ | ۱۰۰   | ۱۰۰,۰۴ | ۹۹,۹۹ | ۱۰۰,۰۲ | ۱۰۰,۰۳ | ۱۰۰,۰۱ | ۱۰۰,۰۱ | ۹۹,۹۸ | ۱۰۰,۰۱ | ۱۰۰,۰۵ |
| NK                             | ۸,۱۰   | ۸,۵۰  | ۶,۴۰  | ۸,۳۲   | ۸,۴۱  | ۹,۳۶   | ۸,۲۸  | ۶,۹۸   | ۶,۷۱   | ۷,۰۸   | ۷,۱۱   | ۷,۵۱  | ۶,۸۲   | ۶,۴۹   |
| A/CNK                          | ۱,۰۵   | ۱,۳۷  | ۱,۶۰  | ۱,۵۰   | ۱,۴۶  | ۱,۴۰   | ۱,۴۵  | ۱,۸۰   | ۱,۸۶   | ۱,۷۴   | ۱,۷۹   | ۱,۸۲  | ۱,۷۸   | ۱,۸۷   |
| LOI.                           | ۰,۷    | ۱,۲   | ۱     | ۰,۸    | ۰,۶   | ۰,۶    | ۰,۴   | ۰,۹    | ۰,۹    | ۰,۲    | ۰,۷    | ۰,۹   | ۱,۱    | ۰,۶    |
| Rb                             | ۱۱۹,۳  | ۲۳,۱  | ۷,۳   | ۱۳     | ۱۱,۴  | ۲,۱    | ۹۱,۵  | ۸,۲    | ۱۵۵,۴  | ۷۴,۲   | ۹۶     | ۷,۸۷  | ۳۷,۲   | ۶۴,۱   |
| Sr                             | ۷۶,۲   | ۲۱,۲  | ۳۵,۸  | ۱۴۴,۷  | ۲۲۵,۶ | ۲۶,۸   | ۱۶۲   | ۳۱,۹   | ۲۴     | ۸۰,۸   | ۹۳,۶   | ۸۴,۴  | ۲۴۹,۳  | ۳۰,۸   |
| Ba                             | ۵۳۲    | ۳۴    | ۲۷    | ۵۰     | ۱۹۶   | ۱۵     | ۶۶۸   | ۲۶     | ۲۱۰    | ۱۵۰,۶  | ۱۱۵۰   | ۸۲۵   | ۳۲۴    | ۲۶۶    |
| Y                              | ۱۴,۹   | ۵۲,۸  | ۲۱,۴  | ۳۸,۶   | ۳۵,۹  | ۳۸,۵   | ۲۲,۲  | ۲۴,۱   | ۱۴     | ۱۴,۴   | ۱۸,۳   | ۲۵,۲  | ۳۹,۶   | ۲۱,۴   |
| Zr                             | ۸۲,۸   | ۹۸,۷  | ۶۶,۸  | ۱۲۷,۸  | ۱۳۸,۴ | ۱۲۳,۳  | ۱۳۴   | ۸۰,۴   | ۶۷     | ۱۲۳,۵  | ۹۷,۴   | ۱۱۶   | ۱۵۷    | ۵۷     |
| Nb                             | ۵,۴    | ۱۳,۳  | ۶,۷   | ۸,۶    | ۳,۶   | ۹,۵    | ۵,۴   | ۵,۱    | ۵,۵    | ۳,۴    | ۵,۲    | ۷,۹   | ۵,۸    | ۴,۹    |
| Hf                             | ۲,۹    | ۴,۹   | ۳     | ۴,۵    | ۴,۳   | ۳,۳    | ۳,۹   | ۲,۵    | ۲,۲    | ۳,۷    | ۳,۶    | ۳,۸   | ۴,۶    | ۱,۹    |
| Ta                             | ۰,۵    | ۱,۲   | ۱     | ۰,۶    | ۰,۴   | ۰,۸    | ۰,۶   | ۰,۵    | ۰,۹    | ۰,۲    | ۰,۴    | ۰,۵   | ۰,۴    | ۰,۳    |
| Th                             | ۹,۹    | ۲۳,۵  | ۱۲,۴  | ۱۴     | ۰,۸   | ۱۵     | ۱۰,۷  | ۱۲,۴   | ۵,۷    | ۱۰,۱   | ۸,۳    | ۱۲,۹  | ۱      | ۲,۴    |
| La                             | ۱۴,۴   | ۱۶,۶  | ۰,۸   | ۵۱     | ۹,۳   | ۴۴,۶   | ۲۷,۹  | ۲۵,۶   | ۱۰,۶   | ۳۶,۱   | ۲۷,۸   | ۳۲    | ۱۲,۲   | ۱۷,۳   |
| Ce                             | ۳۲,۷   | ۴۲,۲  | ۸,۹   | ۱۰۵,۶  | ۲۴,۴  | ۹۱     | ۵۵,۷  | ۵۵,۶   | ۲۰,۷   | ۷۳,۱   | ۵۷,۴   | ۶۴,۸  | ۲۸,۵   | ۴۰,۷   |
| Nd                             | ۱۴,۷   | ۲۱    | ۱,۸   | ۴۱     | ۱۷,۵  | ۴۳,۳   | ۲۲,۶  | ۲۴,۹   | ۹,۷    | ۲۶,۵   | ۲۱,۳   | ۲۸,۴  | ۲۰,۷   | ۲۱,۵   |
| Sm                             | ۲,۰۷   | ۶,۶   | ۰,۸۶  | ۷,۹۱   | ۴,۹۴  | ۷,۴۳   | ۴,۲۲  | ۴,۹۲   | ۲,۷۵   | ۴,۷۷   | ۴,۴۱   | ۵,۶۱  | ۵,۳۶   | ۴,۵۴   |
| Eu                             | ۰,۳۸   | ۰,۲۳  | ۰,۱۵  | ۰,۷۱   | ۱,۶۷  | ۰,۷۲   | ۰,۸۸  | ۰,۲۵   | ۰,۲۸   | ۱,۲۷   | ۰,۷۶   | ۰,۷۷  | ۱,۹۹   | ۱,۱۸   |
| Yb                             | ۲,۰۴   | ۲,۵۶  | ۲,۴۱  | ۳,۸۴   | ۳,۳۴  | ۴,۵۴   | ۲,۷۸  | ۲,۲۹   | ۱,۴۷   | ۱,۵۹   | ۱,۵۲   | ۲,۶۵  | ۴,۰۶   | ۲,۲۱   |

می‌کند. این سنگ‌ها دارای الگوهای غنی شده از عناصر خاکی نادر سبک (LREEs) با ( $\text{La} / \text{Yb} = 3-22.7$ ) هستند (شکل ۵) و بیهودگاری منفی ( $\text{Ti}, \text{P}, \text{Nb}, \text{Sr}$ ) و بیهودگاری مثبت ( $\text{Th}, \text{Cs}, \text{U}, \text{Rb}, \text{Ba}$ ) در آن‌ها آشکار است (شکل ۵-ج). این سنگ‌ها از عناصر با پتانسیل یونی پایین (LILEs) غنی شدگی و از عناصر با پتانسیل یونی بالا (HFSEs) تهی شدگی نشان-نموده‌اند.

همچنین در نمودارهای  $\text{Al}_2\text{O}_3/\text{Na}_2\text{O} + \text{K}_2\text{O}$  (A/NK) و  $\text{Al}_2\text{O}_3/\text{CaO} + \text{Na}_2\text{O} + \text{K}_2\text{O}$  (A/CNK) در برابر  $\text{SiO}_2$  در برابر  $\text{FeOt/MgO}$  و پرآلومین قرار می‌گیرند (شکل ۵-پ و ت). علاوه بر این، ترکیب بیوتیت‌ها در نمودارهای  $\text{Al}_2\text{O}_3$  در برابر  $\text{Fe}_{\text{total}}$  و  $\text{MgO}$  در برابر  $\text{Al}_2\text{O}_3$  نیز در گسترده‌ی پرآلومین قرار می‌گیرند (شکل ۶) و پرآلومین بودن این سنگ‌ها را تایید می‌کند.



شکل ۵ الف و ب- موقعیت نمونه‌های منطقه‌ی مورد بررسی به ترتیب در نمودارهای مجموع قلیاًی‌ها ( $\text{Na}_2\text{O}+\text{K}_2\text{O}$ ) در برابر  $\text{SiO}_2$  [۱۷] و [۱۶]. پ و ت- موقعیت نمونه‌های منطقه‌ی مورد بررسی به ترتیب در نمودارهای  $\text{FeOt}/\text{MgO}$  در برابر  $\text{Al}_2\text{O}_3/\text{Na}_2\text{O}+\text{K}_2\text{O}(\text{A}/\text{NK})$  [۱۹] و [۱۸]. چ- به ترتیب نمودارهای بهنجار شده نسبت به REE کندریت [۲۱] و NMORB [۲۲] برابر ( $\text{Al}_2\text{O}_3/\text{CaO}+\text{Na}_2\text{O}+\text{K}_2\text{O}(\text{A}/\text{CNK})$ ). ث- به ترتیب نمودارهای منطقه‌ی مورد بررسی.



شکل ۶ الف و ب: به ترتیب ترکیب بیوتیت‌ها در نمودارهای  $\text{Al}_2\text{O}_3$  در برابر  $\text{FeOt}_{\text{total}}$  و  $\text{MgO}$  [۲۰] برای نمونه‌های منطقه مورد بررسی. تمام نمونه‌ها در گستره گرانیت‌های پرآلومین قرار می‌گیرند.

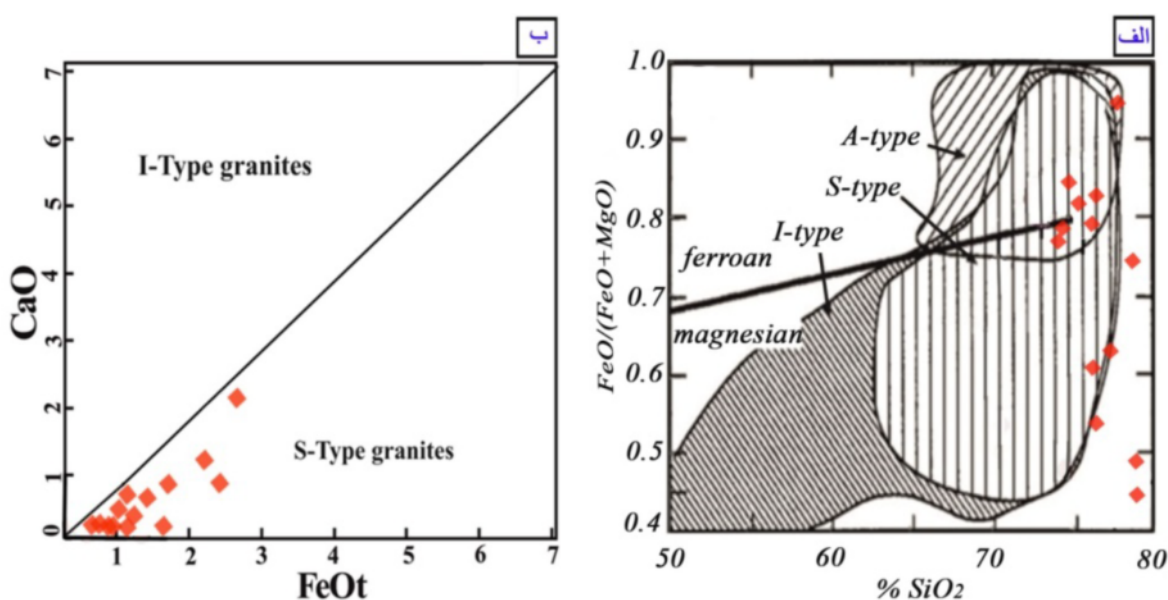
بندهزارچاه همراه با سنگ‌های دگرگون این منطقه، ویژگی‌های ژئوشیمیایی تقریباً مشابهی نشان داده و از عناصر  $\text{Ti}$ ,  $\text{Nb}$ ,  $\text{Sr}$ ,  $\text{Rb}$ /Ba [۲۵] (شکل ۸-پ)، نمودار تغییرات  $\text{Rb}/\text{Sr}$  [۲۶] (شکل ۸-الف) و نمودار  $\text{molCaO}/\text{MgO} + \text{FeOt}$  در برابر  $\text{Al}_2\text{O}_3/\text{MgO} + \text{FeOt}$  [۲۷] (شکل ۸-ب) بیشتر در گستره‌های حاصل از ذوب بخشی شبه‌گریوک و شبکه‌پلیت‌ها قرار می‌گیرند. لذا با توجه به رخنمون‌های گستره از شبه‌گریوک‌ها، میکاشیستها و گنیس‌ها، در سنگ‌های میزان توده‌ی گرانیت‌وئیدی بندهزارچاه، احتمالاً این گرانیت‌ها از ذوب بخشی سنگ‌های دگرگون همین منطقه ریشه گرفته‌اند.

#### تعیین جایگاه زمین ساختی گرانیت‌ها

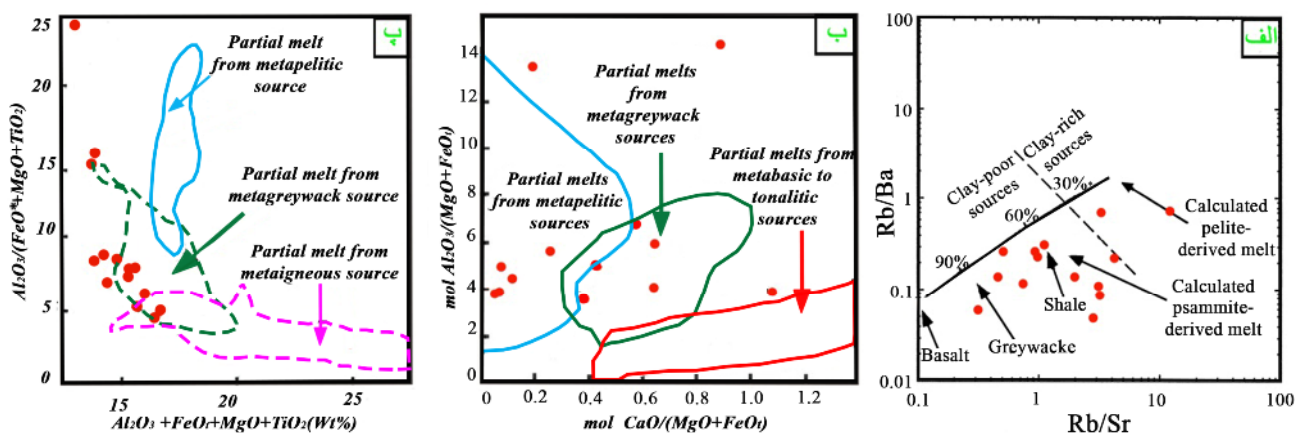
برپایه‌ی رده‌بندی پیرس [۲۸] گرانیت‌وئیدها براساس محیط زمین ساختی به چهار گروه تقسیم می‌شوند که عبارتند از: گرانیت‌های پشت‌های میان اقیانوسی (ORG)، گرانیت‌های کمان آتش‌شانی (کمان اقیانوسی و کمان قاره‌ای) (VAG)، گرانیت‌های درون صفحه‌ای (WPG) و گرانیت‌های مناطق برخوردی (همزمان با برخورد و پسا برخورد) (COLG) که برخورد قاره‌ی قاره و برخورد کمان‌قاره را شامل می‌شوند.

#### بحث

**تعیین نوع گرانیت و سنگ مادر آن‌ها**  
چنانکه پیشتر اشاره شد سنگ‌های میزان توده‌ی گرانیت‌وئیدی بند‌هزارچاه شامل سنگ‌های دگرگون با سن نئوپیروتزروئیک هستند. این سنگ‌های دگرگون بیشتر شامل اسلیت، فیلیت، متاگریوک، متاچرت، متابازیت، میکاشیست، مرمر، گنیس و گارنت‌گنیس هستند. طیف ترکیبی توده‌ی گرانیت‌وئیدی بند‌هزارچاه محدود بوده و شامل گرانیت و گرانیت قلیایی است. تنها کانی مافیک آن‌ها بیوتیت بوده و فاقد پیروکسن و هورنبلندند. اسفن به صورت اولیه وجود ندارد بلکه به صورت ثانویه یافت می‌شود. آپاتیت به مقدار اندک دیده شد. دامنه‌ی تغییرات  $\text{SiO}_2$  بین ۷۴ تا ۷۹ درصد است و به طور کلی این گرانیت‌ها سرشار از کوارتز هستند. نسبت مولی A/CNK بیشتر از ۱.۱ بوده و میانگین درصد کرونودوم با معیار CIPW بیش از یک درصد است. این ویژگی‌ها شباهت زیادی با گرانیت‌های نوع S دارد. همچنین این سنگ‌ها در نمودارهای  $\text{SiO}_2$  در برابر  $\text{FeOt}/\text{FeOt} + \text{MgO}$  [۲۳] (شکل ۷-الف) و  $\text{CaO}$  در برابر  $\text{FeOt}$  [۲۴] (شکل ۷-ب) در گستره‌ی گرانیت‌های نوع S قرار می‌گیرند، ولی از همه مهمتر آنکه شواهد صحرابی فراوانی از رخداد ذوب بخشی در گنیس‌ها و تبدیل آن‌ها به گرانیت‌ها دیده می‌شود. علاوه بر شواهد صحرابی و کانی‌شناسی، ویژگی‌های ژئوشیمیایی نیز نشأت گرفتن گرانیت‌ها از گدازه‌های حاصل از ذوب شیستها و گنیس‌ها را تأیید می‌کنند. در نمودارهای عنکبوتی نیز، گرانیت‌های منطقه‌ی



شکل ۷ الف و ب - موقعیت نمونه‌های منطقه‌ی مورد بررسی به ترتیب روی نمودارهای  $SiO_2$  در برابر  $CaO$  [۲۳] و  $FeO/(FeO+MgO)$  در برابر  $\% SiO_2$  [۲۴] که همگی در گستره S قرار می‌گیرند.



شکل ۸ الف، ب و پ - موقعیت نمونه‌های مورد بررسی به ترتیب روی نمودارهای تغییرات  $Rb/Sr$  نسبت به  $Rb/Ba$  [۲۶] و  $mol Al_2O_3/(FeO^*+MgO+TiO_2)$  نسبت به  $mol Al_2O_3/(Al_2O_3+FeO^*+MgO+TiO_2)$  [۲۷] و  $mol Al_2O_3/(MgO+FeOt)$  نسبت به  $mol CaO/(MgO+FeOt)$  [۲۸]. نمونه‌ها بیشتر در گستره‌های با سنگ خاستگاه متاگریوکی و متاپلیت فقیر از رس قرار می‌گیرند.

هستند. علاوه بر این، نمودارهای ژئوشیمیایی، تعیین محیط زمین‌ساختی نیز شکل‌گیری گرانیت‌های منطقه بندهزارچاه را در محیط‌های وابسته به کمان آتشفسانی قاره‌ای تا برخوردي تأیید می‌کنند. برای تشخیص محیط زمین‌ساختی گرانیت‌های منطقه بندهزارچاه از نمودارهای دیگر، بر پایه تغییرات عناصر  $Ta+Yb$  نسبت به Th (شکل ۹-الف) و  $Rb$  نسبت به Ta (شکل ۹-ب) استفاده شد، و چنانکه در این شکل‌ها مشاهده می‌شود، تمامی نمونه‌ها در گستره VAG یا گرانیت

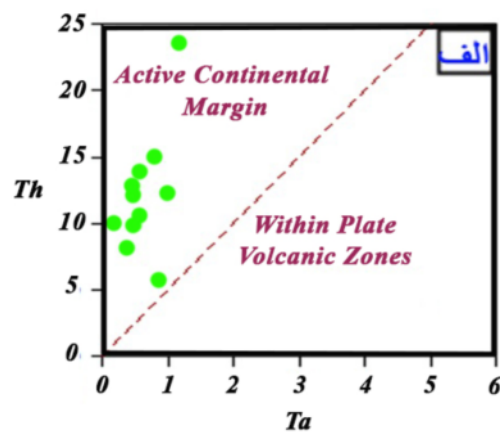
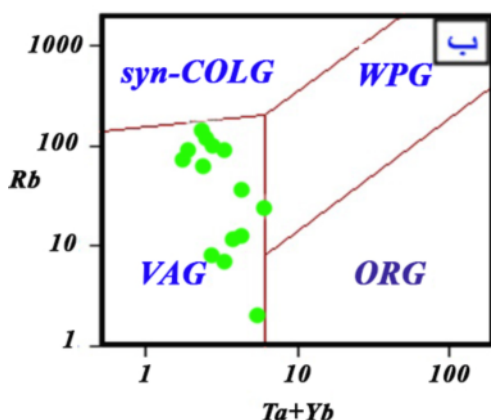
بر اساس ویژگی‌های ژئوشیمیایی گرانیت‌ها که پیشتر شرح داده شد و مقایسه‌ی آن‌ها با معیارهای رده‌بندی گرانیت‌ها، می‌توان نتیجه گرفت که گرانیت‌های مورد بررسی از نوع گرانیت‌های کمان آتشفسانی قاره‌ای هستند. این گرانیت‌ها دارای ماهیت آهکی-قلیایی تا آهکی-قلیایی با پتابسیم بالا هستند و بر اساس الگوهای عناصر کمیاب و REE آن‌ها بر روی نمودارهای عنکبوتی و چند عنصری بهنجار شده، دارای ویژگی‌های وابسته به محیط‌های زمین‌ساختی کمان قاره‌ای

سمت بخش‌های بالای منطقه‌ی فرورانش مهاجرت می‌کند. به علاوه ایزوتوپ‌های رادیوزنیک موجود در پوسته‌ی غنی از U و Th نیز به افزایش دما و رخداد ذوب‌بخشی کمک می‌کند. با توجه به ترکیب سنگ‌شناسی سنگ‌های میزبان دگرگون (که بیشتر شامل شبه‌گریوک، اسلیت، فیلیت، مرمر، میکاشیست، آمفیبولیت و گنیس هستند)، سنگ مادر آن‌ها بیشتر شامل ماسه‌سنگ، شیل، آهک و گابرو بوده و احتمالاً در یک محیط کم عمق شبیه به حوضه‌ی پشت کمان قاره‌ای [۱۳] (شکل ۱۰) در حاشیه‌ی فعال شمالی گندوانا تشکیل شده و سپس در نتیجه‌ی فرورانش مورب ورقه‌ی اقیانوسی پروتوتیس به زیر حاشیه شمالی گندوانا، این سنگ‌ها دستخوش دگرگونی ناحیه‌ای شده‌اند و با بالا رفتن درجه‌ی دگرگونی و ذوب‌بخشی، توده‌گرانیت‌وئیدی بند هزارچاه در ادیکاران- کامبرین تشکیل شده‌است. از آنجا که فرورانش به صورت مورب بوده، منطقه‌های برشی نیز بسیار گستردۀ بوده و ضمن تاثیر آن‌ها بر جایگزینی ماقما، در مراحل انتهایی تبلور ماقما تشکیل دهنده تا پس از انجماد آن، فعال بوده‌اند و سبب پیدایش ساختارهای دگرگشکلی با دما بالا از قبیل قطع شدن فلسفه‌پارها به وسیله‌ی رگه‌های کوارتز و میلیونیتی شدن این توده در بعضی از بخش‌های آن شده‌اند. توده‌ی گرانیت‌وئیدی بند هزارچاه با دیگر گرانیت‌ها و گنیس‌های مشابه پی‌سنگ ایران در ایران مرکزی، سندجان- سیرجان و البرز، همسن است. این سنگ‌ها در نتیجه‌ی ماقماتیسم قوس قاره‌ای نئوپرتوژن‌وئیک- کامبرین پیشین و در حاشیه شمالی گندوانا تشکیل شده‌اند.

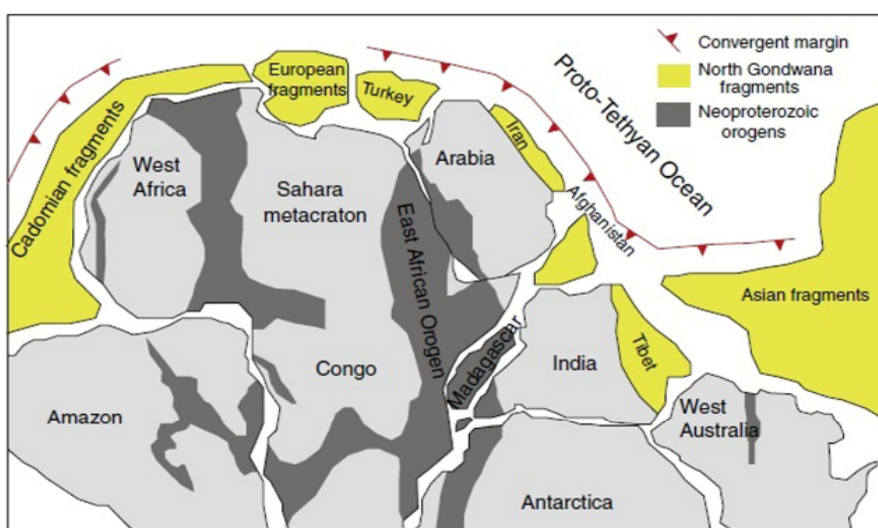
های وابسته به کمان ماقماهی و حاشیه‌ی فعال قاره‌ای قرار می‌گیرند که با ویژگی‌های دیگر ژئوشیمیایی این سنگ‌ها همخوانی دارد.

#### سنگ‌زایی گرانیت‌ها و ارائه الگوی ژئودینامیکی

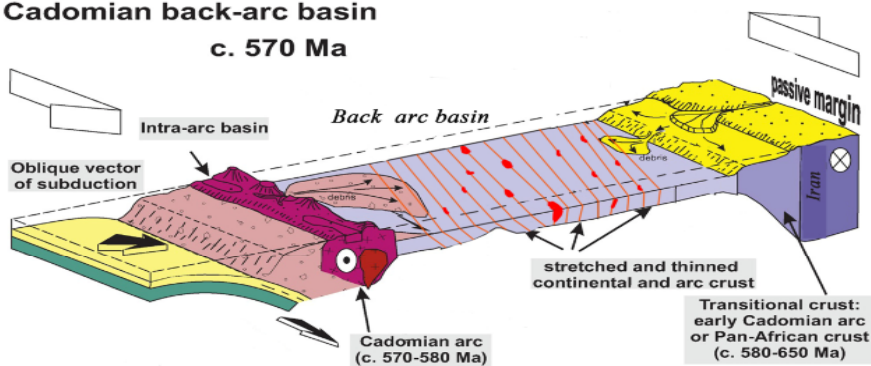
نمودارهای تشخیص محیط زمین‌ساختی سنگ‌های گرانیتی و نیز شواهد زمین‌شناسی منطقه‌ای که این سنگ‌ها در محیط‌های حاشیه فعال قاره‌ای شکل‌گرفته‌اند. بسیاری از ویژگی‌های این سنگ‌ها از جمله ماهیت آهکی- قلیایی آن‌ها با خصوصیات ماقماهای وابسته به منطقه‌های فرورانش همخوانی دارد. لذا در مجموع می‌توان نتیجه گرفت که گرانیت‌ها و لوکوگرانیت‌های منطقه‌ی بند هزارچاه از نوع گرانیت‌های وابسته به کوه‌زایی‌هستند و چنانکه شواهد صحرایی، سنگ‌نگاری و ژئوشیمیایی نشان‌می‌دهند، دارای ارتباط ژنتیکی با سنگ‌های دگرگونی منطقه هستند. بنابراین گرانیت‌های منطقه‌ی مورد بررسی که غالباً ترکیب گرانیتی و لوکوگرانیتی دارند، از نوع S بوده و از ذوب سنگ‌های دگرگون شبه‌گری و کی- متاپلیتی با سنگ مادر رسوبی- تخریبی (در پوسته‌ی قاره‌ای بالایی) ریشه گرفته‌اند. این سنگ‌ها احتمالاً در یک جایگاه قوس قاره‌ای و در ارتباط با فرورانش مورب لیتوسفر اقیانوسی پروتیس به زیر حاشیه‌ی شمالی ابرقاره گندوانا در ادیکاران- کامبرین تشکیل شده‌اند. به اعتقاد لفورت و همکاران [۳۰] ذوب سنگ‌های گنیسی می‌تواند ناشی از ورود شاره‌های ریشه گرفته از سنگ‌های آبدار پوسته‌ی بالایی باشد که به کاهش زمین‌گرمایی قاره‌ای در این بخش می‌انجامد. فرایند آبزدایی (Dehydration) ورقه فرورونده، شاره‌هایی را آزاد کرد که به



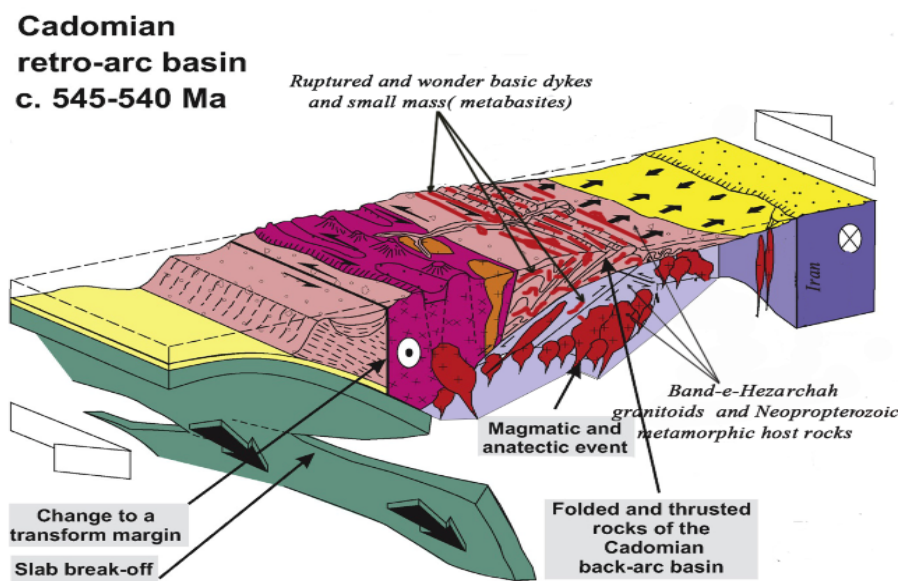
شکل ۹ الف-ب- موقعیت نمونه‌های مورد بررسی به ترتیب برروی نمودار تغییرات عناصر Th نسبت به Ta [۲۸] و Rb در برابر [Ta + Yb]



**Cadomian back-arc basin**  
c. 570 Ma



**Cadomian  
retro-arc basin**  
c. 545-540 Ma



شکل ۱۰ الف- نقشه‌ی بخشی از گندوانا که نشان‌دهنده موقعیت قاره‌ها و قطعات قاره‌ای در ادیکاران- کامبرین زیرین است. ب و ج- الگوی پیشنهادی در چگونگی تشكیل و جایگاه زمین‌ساختی توده گرانیتوبئیدی بند هزار چاه و سنگ‌های دگرگون میزان آن در نئوپروتروروژیک پسین- کامبرین زیرین [۱۳].

[۷] حاج حسینی ع، "نقشه زمین‌شناسی ۱:۱۰۰۰۰۰ بسطام"، سازمان زمین‌شناسی کشور (۱۳۸۲).

[۸] رحمتی ایلچی م، "نقشه زمین‌شناسی ۱:۱۰۰۰۰ رزوه، سازمان زمین‌شناسی کشور (۱۳۸۲).

[۹] حسینی ح، "پترولوژی و ژئوشیمی توده گرانیت‌وئیدی بند هزارچاه بیارجمند"، پایان نامه کارشناسی ارشد، دانشکده علوم، دانشگاه تهران (۱۳۷۴).

[10] Hassanzadeh J., Stockli D., Horton B., Axen G., Stockli L., Grove M., Shmitt A., Walker D., "U-Pb zircon geochronology of late Neoproterozoic – Early Cambrian granitoids in Iran: Implications for paleogeography, magmatism", and exhumation history of Iranian basement, *Tectonophysics* 451 (2008) p 71- 96.

[۱۱] کاظمی ک، "پترولوژی و ژئوشیمی توده نفوذی جنوب کیکی، جنوب غرب بیارجمند"، پایان نامه کارشناسی ارشد، دانشکده علوم زمین، دانشگاه تهران (۱۳۹۰).

[۱۲] ابتهاج م، "زمین‌شناسی، ژئوشیمی و پترولوژی دایک‌های دیابازی موجود در منطقه بند هزارچاه، پایان نامه کارشناسی ارشد، دانشکده علوم‌زمین، دانشگاه صنعتی شاہرود (۱۳۹۳).

[13] Hosseini S.H., Sadeghian M., Zhai M., Ghasemi H., "Petrology, geochemistry and zircon U-Pb dating of Band-e-Hezarchah metabasites (NE Iran): An evidence for back-arc magmatism along the northern active margin of Gondwana. *ChemieErde - Geochemistry* (2015)", <http://dx.doi.org/10.1016/j.chemer.2015.02.002>

[۱۴] بلاغی اینالو ز، صادقیان م، رای م، قاسمی ح، محجّل م، گانی‌شناسی، زمین‌شیمی و سن پرتوسنجی دایک‌های مافیک موجود در مجموعه دگرگونی دلبر، بیارجمند (جنوب-شرق شاهرود)، مجله بلورشناسی و گانی‌شناسی، سال بیست و دوم، شماره سوم، ص ۴۷۱-۴۸۴.

[15] Deer W.A., Howie R.A., Zussman J., "An introduction to the rock forming minerals", Longmans 696 p, 2<sup>th</sup> editions, London (1992).

[16] Cox K. G., Bell J. D., Pankhurst R. J., "The interpretation of igneous rocks", London : George Allen and Unwin (1979).

[17] Middlemost E.A.K., "Magma and magmatic rocks, an introduction to igneous petrology". Longman Group U.K., (1985) pp: 73-86.

## برداشت

توده گرانیت‌وئیدی بند هزارچاه با ترکیب سنگ‌شناسی فلدسپار قلیایی گرانیت تا گرانیتی و سن نئوپروتروزوئیک پسین-کامبرین زیرین از نوع S بوده و از ذوب سنگ‌های متاپلیتی و شبه‌گریوکی در بالای منطقه‌ی فروزانش مورب پوسته‌ی اقیانوسی پروتیس به زیر حاشیه‌ی فعال شمالی گندوانا تشکیل شده است. این سنگ‌ها در نتیجه‌ی مagmaتیسم قوس قاره‌ای نئوپروتروزوئیک پسین-کامبرین زیرین در حاشیه‌ی شمالی گندوانا تشکیل شده‌اند و همراه با دیگر گرانیت‌ها و گنیس‌های همسن در ایران مرکزی، البرز و سندج-سیرجان، پی‌سنگ ایران را تشکیل می‌دهند.

## قدرتانی

این پژوهش بخشی از نتایج به دست آمده از انجام طرح پژوهشی به شماره ۹۱۰۰۵۴۸ صندوق حمایت از پژوهشگران معاونت علمی و فناوری ریاست محترم جمهوری است. لذا برخود لازم می‌دانیم که از حمایت‌های مادی و معنوی مسئولین محترم آن صندوق و همچنین از پشتیبانی ارزنده حوزه معاونت پژوهشی و فناوری دانشگاه شاهرود سپاسگزاری نماییم.

## مراجع

- [۱] هوشمندزاده ع، علوی نائینی م، "نقشه زمین‌شناسی ۱:۲۵۰۰۰ طرود"، سازمان زمین‌شناسی کشور (۱۳۵۷).
- [۲] نوابی ا، صالحی راد م، مجیدی ب، "نقشه زمین‌شناسی ۱:۲۵۰۰۰ خارت‌وران"، سازمان زمین‌شناسی کشور (۱۳۶۶).
- [۳] شهرابی م، "نقشه زمین‌شناسی ۱:۲۵۰۰۰ گرگان، سازمان زمین‌شناسی کشور (۱۳۶۹).
- [۴] افتخارنژاد ج، آقانباتی ا، خانناظر ن، "نقشه زمین‌شناسی ۱:۲۵۰۰۰ جاجرم"، سازمان زمین‌شناسی کشور (۱۳۷۱).
- [۵] امین چراغ م.ر، "نقشه زمین‌شناسی ۱:۱۰۰۰۰ میامی، سازمان زمین‌شناسی کشور.
- [۶] قاسمی ا، "نقشه زمین‌شناسی ۱:۱۰۰۰۰ دره دایی، سازمان زمین‌شناسی کشور (۱۳۸۳).

- [25] Patiño-Douce A.E., "What do experiments tell us about the relative contributions of crust and mantle to the origin of granitic magmas?" Geological Society of London Special Publication 168 (1999) 55–75.
- [26] Sylvester P.J., "Post collisional strongly peraluminous granites." *Lithos* 45 (1998) 29–44.
- [27] Altherr R., Holl A., Henger E., Langer C., Kreuzer H., "High potassium, calc alkaline I-type plutonism in the European Variscides: Northern Vosges (France) and Northern Schwarzwald (Germany)". *Lithos*, V.50 (2000) pp.51-73.
- [28] Pearce J.A., Harris B.W., Ttindle A.G., "Trace element of iseriminant diagrams for the tectonic interpretation of granitic rocks", *Journal of petrology* 25, (1984) pp. 956-983.
- [29] Schandl E.S., Gorton M.P., "Application of high field strength elements to discriminate tectonic settings in VMS environments", *Economic Geology* 97 (2002) 629 - 642.
- [30] LeFort P., Debon F., Pecher A., Sonet J., Vidal P., "The 500 Ma magmatic event in alpine southern Asia, a thermal episode at Gondwana scale", *Sciences de la Terre, Memoire* 47 (1986) p. 191–209.
- [18] Shand S.J., "Eruptive rocks. Their genesis, composition, classification and their relation to deposits", Thomas Murby and co, London (1943) 488P.
- [19] Miyashiro A., "Metamorphic petrology", Oxford University Press , Oxford, UK (1994).
- [20] Abdel-Rahman A.M., "Nature of biotites from alkaline, calc-alkaline, and peraluminous Magmas", *Journal of Petrology*.35 (2) (1994) 525–541.
- [21] Boynton W.V., "Consmochemistry of the rare earth elements meteorite studies.In: Henderson, P. (Ed.), Rare Earth Element Geochemistry", Elsevier Sciences,Amsterdam, (1984) pp. 63–114.
- [22] Sun S.S., McDonough W.F., "Chemical and isotopic systematic of oceanic basalts"; implications for mantle composition and processes Geological Society of London,pp. 313–345 (1989) (Special Publication No. 42).
- [23] Frost R.B., Barnes C.G., Collins W.J., Arculus R.J., Ellis D.J., Frost C.D., "A geochemical classification for Granitic Rocks", *J. Petrol.* 42 (2001) 2033–2048.
- [24] Hsieh P.S., Chen C.H., Yang H.J., Lee C.Y., "Petrogenesis of the Nanling Mountains granites from South China: constraints from systematic apatite geochemistry and whole-rock geochemical and Sr–Nd isotope compositions", *Journal of Asian Earth Sciences* 33 (2008) 428–451.